

## مقایسه اسپر لایر با قیمانده در دو روش اینسترومیشن دستی و چرخشی با سرعتهای متفاوت

**دکتر مریم بیدار\*** - دکتر مینا زارعی\*\* - دکتر اعظم السادات مدنی\*\*\* - دکتر محمدجواد خرازی فرد\*\*\*\*

\*- دانشیار گروه آموزشی اندودنتیکس دانشکده و مرکز تحقیقات دندانپزشکی دانشگاه علوم پزشکی مشهد.

\*\*- استادیار گروه آموزشی اندودنتیکس دانشکده و مرکز تحقیقات دندانپزشکی دانشگاه علوم پزشکی مشهد.

\*\*\*- استادیار گروه آموزشی پروتزهای دندانی دانشکده دندانپزشکی دانشگاه علوم پزشکی مشهد.

\*\*\*\*- مشاور آمار مرکز تحقیقات دانشکده دندانپزشکی دانشگاه علوم پزشکی تهران.

### چکیده

**زمینه و هدف:** تولید اسپر لایر و دبری در اینسترومیشن با فایل‌های دستی یا چرخشی موجب کاهش سیل آپیکال و تطابق ماده پرکننده با دیواره کانال می‌گردد از معایب این وسایل است. هدف از این مطالعه بررسی مقایسه‌ای اسپر لایر تولید شده ناشی از اینسترومیشن با وسایل دستی استینلس استیل و اینسترومینت‌های چرخشی Ni-Ti از گروه پروفایل می‌باشد.

**روش بررسی:** در این مطالعه آزمایشگاهی تعداد شصت دندان تک ریشه خارج شده انسان با حداقل انحنا به دو گروه تقسیم شدند و تاج دندانها قطع شد. گروه ۱ با فایل استینلس استیل و روش استپ بک و دندانهای گروه ۲ به سه زیر گروه تقسیم شده و به ترتیب با سرعتهای هزار، هشت هزار و بیست و چهار هزار در دقیقه با سیستم چرخشی G.T profile اینسترومینت شدند. از گروههای ۱ و ۲، دو دندان به عنوان کنترل انتخاب شد که جهت حذف اسپر لایر ۱۵ دقیقه در EDTA ۱٪ قرار گرفته و بعد با NaOCl ۰/۲۵٪ شسته شد. سپس تمام نمونه‌ها در جهت باکولینگکوال برش داده شده و با پودر طلا - پالادیوم پوشیده گردید و با میکروسکوپ الکترونی ارزیابی شدند، جهت بررسی نتایج از دو تست آماری Mann - Whitney و Kruskall - Wallis استفاده گردید.

**یافته‌ها:** در ناحیه کرونال تراکم ذرات اسپر پلاک بین سرعتهای مختلف سیستم چرخشی تفاوت معنی‌داری نداشت و بیشترین تراکم مربوط به هشت هزار دور بود. در ناحیه میانی کانال کمترین تراکم در روش دستی و در ناحیه اپیکال تفاوت بین نواحی مختلف کانال ارزشمند نبود. اندازه ذرات دبری در سطوح مختلف ریشه در روش چرخشی کوچکتر و با چسبندگی کمتر بود.

**نتیجه‌گیری:** استفاده از فایل‌های Ni-Ti چرخشی، اسپر لایر نازکتر و یکنواخت‌تری با چسبندگی کمتر به دیواره کانال ایجاد می‌کند که با شستشوی فراوان امکان پاکسازی بیشتر کانال فراهم می‌شود.

**کلید واژه‌ها:** میکروسکوپ الکترونی - اسپر لایر - اینسترومینت‌های چرخشی

پذیرش مقاله: ۱۳۸۵/۱۱/۵

اصلاح نهایی: ۱۳۸۵/۸/۱۱

وصول مقاله: ۱۳۸۵/۱/۲۴

نویسنده مسئول: گروه آموزشی اندودنتیکس دانشکده دندانپزشکی دانشگاه علوم پزشکی مشهد e-mail:mbidar2001@yahoo.com

### مقدمه

است که بتواند فضای داخل کانال را به صورت ایده‌آل پاکسازی و شکل‌دهی کند.

بعضی مطالعات نشان می‌دهد که قابلیت برنده‌گی اینسترومینت‌های NiTi نسبت به نوع استینلس استیل کمتر

یکی از عوامل مهمی که در امر پاکسازی مورد بحث است وجود میزان اسپر لایر در دیواره کانال و اثر آن بر موفقیت درمان است. علی‌رغم تداوم پیشرفت‌ها در جهت بهبود طرح و خواص اینسترومینت‌ها هنوز هیچ اینسترومینتی عرضه نشده

ناشی از اینسترومانتیشن با اینسترومانت های چرخشی NiTi گروه پروفایل با سه سرعت هزار، هشت هزار و بیست و چهار هزار دور در دقیقه و مقایسه آن با روش دستی بود.

### روش بررسی

در این مطالعه آزمایشگاهی تعداد شصت دندان تک ریشه خارج شده انسانی (با آپکس بسته و قطر یکسان و انحنای ریشه حداقل بر طبق متد Schneider) جمع آوری شدند. دندانها به دو گروه سی تایی تقسیم شدند. یکی از گروهها نیز به سه زیر گروه ده تایی تقسیم شد. سپس تاج دندانها با استفاده از دیسک الماسه (D&Z Diamant) قطع و بافت پالپ داخل کanal‌ها، با بروج خاردار خارج شد. طول کارکرد با فایل شماره ۱۵ به اندازه یک میلی متر کوتاهتر از طول ریشه (MANI) تعیین گردید. فایل دستی مورد استفاده K فایل (K file) استنلیس استیل ۲۵ میلی متری و دستگاه چرخشی به کار رفته، سیستم Profile GT محصول شرکت Dentsply بود. فایل‌های این سیستم با کاربرد هندپیس مخصوص Micromega 324 در یک محدوده حداقل و حداکثر سرعت قابل کاربرد است که در سرعت حداقل با سرعت هزار تا سه هزار و در حداکثر سرعت (Rabit) هشت هزار تا بیست و چهار هزار دور در دقیقه می‌باشد. سرانگل هندپیس توانایی کاهش سرعت را به میزان یک ششم دارد.

فایل‌های مورد استفاده در این سیستم شامل فایل‌های شماره بیست، ۲۵، سی و ۳۵ با تقریب ۴٪ و فایل‌های شماره بیست با تقاربهای ۱۲٪، ۱۰٪، ۸٪ و ۶٪ میلی متر بود که دندانها در سه زیرگروه با سرعتهای هزار، هشت هزار و بیست و چهار هزار آماده شدند.

در این مرحله، نمونه‌های آماده شده با استفاده از وسایل فوق الذکر و روشهای زیر اینسترومانت شدند:

گروه ۱) فایل دستی: فایل‌های مورد استفاده در این روش K فایل بودند (MANI). آماده‌سازی آپکالی با اولین فایلی که در طول کارکرد باند می‌شد، شروع شد. هر فایل با حرکت فایلینگ Pull-Push، تا زمانی که در کanal گیر نداشت، به کار برده شد. سپس فایل‌های بزرگتر با تکنیک استپ بک برای

می‌باشد و در نتیجه میزان عاج کمتری از دیواره های کanal حذف می‌شود و خطرات ترانسپورت و پرفوریشن کاهش می‌یابد.(۱)

Czanstkoviky در سال ۱۹۹۰ نشان داد که اسمیر لایر تولید شده ناشی از هندپیس خودکار در مقایسه با اینسترومانتیشن دستی از حجم بیشتری برخوردار است.(۲)

Sydney در ۱۹۹۶ در مقایسه بین دو روش دستی و خودکار نشان داد که لایه پیوسته اسمیر در گروهی که آماده‌سازی کanal با هندپیس خودکار انجام شد، متراکمتر بود و استفاده از محلول EDTA به مدت پنج دقیقه، پس از کامل شدن اینسترومانتیشن و شستشوی نهایی با هیپوکلریت سدیم ۱٪ در پایان قادر به حذف کامل اسمیر از تمام نمونه‌ها بود.(۳) Valli و همکاران در ۱۹۹۶ در یک مطالعه میکروسکوپ الکترونی توانایی دبریدمان K فایل را با Canal master مقایسه کردند. آنها حضور دبری‌ها، اسمیر لایر و توبول‌های عاجی در یک سوم آپکالی را معیار پاکسازی در نظر گرفتند، که هر دو روش در دبریدمان کامل کanal غیر موثر بود با این حال تکنیک Canal master دبری کمتری به جای گذاشت.(۴)

در مقایسه‌ای که بین سیستم Endo-tech با فایل‌های استنلیس استیل انجام شد. دبری‌های ایجاد شده فقط در شکل متفاوت بودند و در گروهایی دستی دبری‌ها به صورت گرانولر و در گروهی که با انگل اینسترومانت شده بودند ذرات ریزتر و یا قطعات بیشتر بود.(۵)

Guppy در سال ۲۰۰۰ ارتباط شکل هندسی دو اینسترومانت چرخشی NiTi (پروفایل و کوانٹک) را با برآوردهای عاجی تولید شده ارزیابی کرد که اختلاف قابل توجهی بین دو گروه دیده نشد ولی ذرات حاصل از کوانٹک بزرگتر و گردتر بود.(۶)

Laszkiewics در مطالعه‌ای بر روی سیستم چرخشی GT نشان داد که این فایل‌ها تقریباً کمترین مقدار دبری را در یک سوم آپکالی و کرونالی و میانی کanal باقی می‌گذارند ولی اسمیر لایر در تمام سطوح ریشه وجود نداشت و به ویژه بین یک سوم آپکالی و کرونال اختلاف ارزشمند بود.(۷)، هدف از این مطالعه بررسی مقایسه‌ای اسمیر لایر تولید شده

شدن.

برای ارزیابی دبری‌ها و اسپیرلایر باقیمانده در دیواره کanal، با توجه به روش پیشنهادی Hulsmann و همکارانش در سال ۱۹۹۷ که از یک سیستم طبقه‌بندی پنج درجه‌ای استفاده کردند.<sup>(۸)</sup> در این مطالعه از یک سیستم طبقه‌بندی چهار درجه‌ای برای دو شاخص جداگانه میزان پراکندگی و میزان درشتی ذرات دبری و اسپیرلایر که در واقع ماهیت و ساختار واحدی دارند و نمی‌توان آنها را به صورت دو پارامتر جدا از هم بررسی کرد، استفاده شد:

#### الف) شاخص میزان پراکندگی

درجه ۱) دیواره کanal تغییر نداشت و تمام توبولهای عاجی باز هستند. ممکن است تعداد کمی ذرات ریز، به طور پراکنده دیده شوند.

درجه ۲) ذرات و توده‌هایی از دبری با قطر ۱۲-۷ میکرومتر با پراکندگی کمتر دیده می‌شوند.

درجه ۳) تقریباً تمام دیواره کanal از ذرات ریز اسپیری پوشانده شده و توده‌هایی نسبتاً درشت دبری نیز روی آن به چشم می‌خورد.

درجه ۴) تمام یا تقریباً تمام دیواره کanal ریشه توسط ذرات اسپیرلایر و تجمعات درشت دبری پوشانده شده است.

#### ب) شاخص میزان درشتی

درجه ۱) ذرات بسیار ریزی با حداقل قطر هفت میکرومتر روی دیواره کanal پراکنده‌اند.

درجه ۲) ذرات و توده‌هایی از دبری با قطر ۱۲-۷ میکرومتر با پراکندگی کمتر دیده می‌شوند.

درجه ۳) توده‌هایی از دبری که قطر آنها بین ۱۷-۱۲ میکرومتر بوده و به دیواره کanal چسبیده‌اند.

درجه ۴) تجمعات و توده‌های بزرگ دبری که بیش از ۱۷ میکرومتر قطر دارند، مناطقی از دیواره کanal را کاملاً می‌پوشانند.

طبقه‌بندی دبری‌ها و اسپیرلایر در بزرگنمایی X ۶۰۰ انجام گردید. در این مطالعه نمای جانی اسپیرلایر نفوذ کرده به داخل توبولهای عاجی نیز طبق مطالعه Mader و همکارانش<sup>(۹)</sup> بررسی گردید. در هریک از نواحی سه‌گانه کanal، بیشترین عمق نفوذ ذرات در توبولهای عاجی از مدخل

اینسترومیشن دو سوم کرونالی با حرکت فایلینگ محیطی به کار رفته‌است.

**گروه ۲) Profile GT مرحله ۱) کراون-داون:** در این مرحله از فایل‌های شماره بیست با درجه تقاربهای متفاوت ۰/۱۲، ۰/۱۰، ۰/۰۸ و ۰/۰۶ میلی‌متر بدین ترتیب استفاده شد که ابتدا با فایل ۰/۱۲ ناحیه کرونالی کanal را اینسترومیشن کرد، سپس با فایل ۰/۱۰ تا نصف طول ریشه و پس از آن با ۰/۰۸ تا حدود ۲-۱ میلی‌متر کوتاهتر از طول کارکرد اینسترومیشن انجام شد.

**مرحله ۲) استپ‌بک اپیکالی** در این مرحله از فایل‌های شماره بیست، ۲۵، سی و ۳۵ با تقارب ۰/۰۴ میلی‌متر استفاده گردید. ابتدا با فایل شماره بیست تا یک چهارم میلی‌متر کوتاهتر از طول کanal، سپس با فایل شماره ۲۵ تا یک دوم میلی‌متر کوتاهتر از طول کanal و پس از آن با فایل شماره سی تا سه چهارم میلی‌متر کوتاهتر از طول کanal و در نهایت با استفاده از فایل شماره ۳۵ تا ۱ میلی‌متر کوتاهتر از طول کanal اینسترومیشن انجام گردید.

**مرحله ۳) کراون-داون نهایی:** در این مرحله براساس شکل کanal، با اینسترومیتهای مراحل قبل و به طور انتخابی، مجدداً فایلینگ انجام شد.

**گروه کنترل:** دو دندان از گروه ۱ و دو دندان از گروه ۲ به عنوان کنترل انتخاب شد، تا اسپیرلایر از آنها حذف گردد به این منظور دندانها (طبق مطالعه Czonstkowski)<sup>(۱۰)</sup> به مدت ۱۵ دقیقه در محلول EDTA با غلظت ۱۷٪ قرار داده شدند و با محلول هیپوکلریت سدیم ۵/۰٪ و در نهایت با مقدار کافی نرمال سالین، شستشو داده شدند.

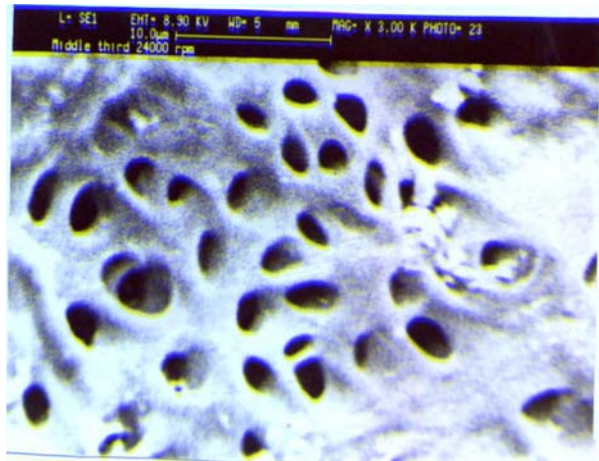
پس از آماده‌سازی و شستشوی نهایی، توسط دیسک الماسه (D&Z Diament) دو شیار طولی در جهت با کولینگوالی روی سطح خارجی دندانها ایجاد شده، با استفاده از Cutter به دو نیمه تقسیم شدند. نیمه سالمتر جهت مطالعه با S.E.M انتخاب و آماده‌سازی گردید.

نیمه‌های انتخاب شده، آبگیری شده و در دستگاه Coating، یک لایه پودر طلا-پالادیوم به ضخامت سیصد انگستروم روی آنها پاشیده تا نمونه‌ها برای بررسی توسط میکروسکوپ الکترونی (Leo-5360-S.E.M-England) آماده شوند.

شد. پس از آن روش چرخشی با سرعت بیست و چهار هزار دور در دقیقه قرار داشت و کمترین میزان تراکم در روش چرخشی با سرعت هزار دور در دقیقه بود آمد. تفاوت‌های موجود از لحاظ آماری معنی دار نبود ( $P.v = 0.49$ ). (P.v = ۰/۴۹).



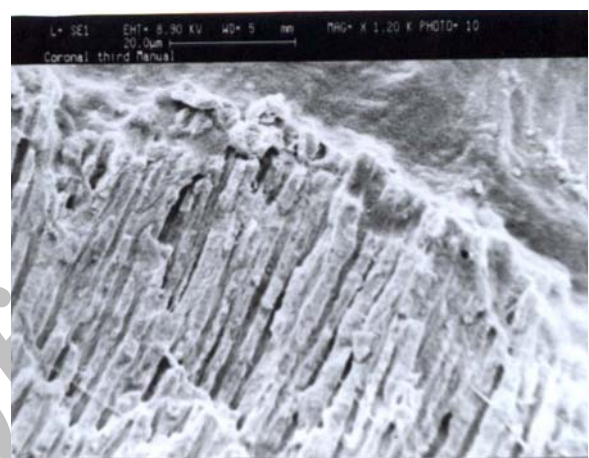
شکل ۳: اسپر لایر در ناحیه کرونالی کانال با استفاده از روش چرخشی سرعت هشت هزار دور در دقیقه



شکل ۴: اسپر لایر در ناحیه میانی کانال با استفاده از روش چرخشی سرعت بیست و چهار هزار دور در دقیقه

در ناحیه میانی کانال نیز بیشترین تراکم ذرات در روش چرخشی با سرعت هشت هزار دور در دقیقه ایجاد شد. پس از آن روش چرخشی با سرعت هزار و بیست و چهار هزار دور در دقیقه واقع شدند و کمترین میزان تراکم با روش دستی بوجود آمد که اختلاف بین گروه‌ها معنی دار بود ( $P.v = 0.025$ ) اما در مقایسه دو به دوی آنها نتایج نشان داد که روش دستی با روش چرخشی با سرعت

توبول در بزرگنمایی  $\times 1200$  اندازه‌گیری و ثبت شد. فتو میکروگراف‌هایی از نواحی سه‌گانه کانال گروه‌های آزمایشی تهیه شد (اشکال ۱-۴). پس از جمع‌آوری اطلاعات با توجه به رتبه‌ای بودن پاسخها از آزمون Kurskal - Wallis برای مقایسه شاخصهای درشتی و پراکندگی بین گروه‌ها استفاده شد و جهت مقایسه دو به دوی آنها از آزمون Mann - Whitney استفاده گردید.



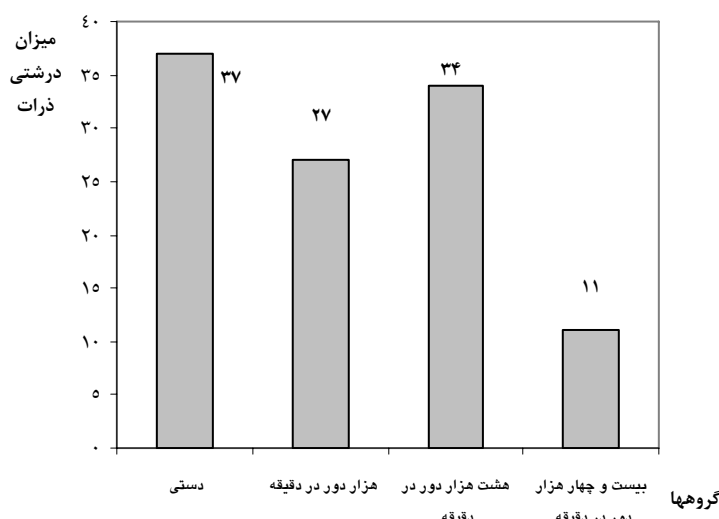
شکل ۱: اسپر لایر و اسپر پلاگ در ناحیه کرونالی کانال با استفاده از روش دستی



شکل ۲: اسپر لایر در ناحیه اپیکالی کانال با استفاده از روش دستی

#### یافته‌ها

در مقایسه بین پراکندگی ذرات در ناحیه کرونالی کانال با استفاده از روش‌های فوق‌الذکر بیشترین تراکم ذرات در روش چرخشی با سرعت هشت هزار دور در دقیقه ایجاد

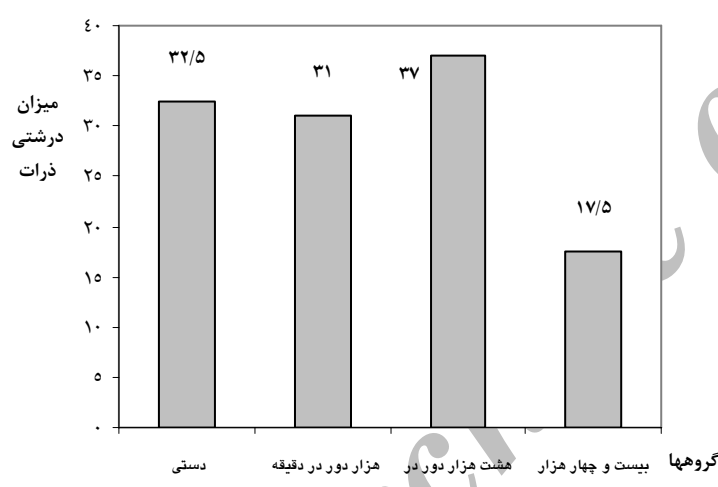


نمودار ۲: مقایسه میانگین رتبه‌ای میزان درشتی ذرات در ناحیه کرونالی کانال

هشت هزار دور در دقیقه از لحاظ آماری تفاوت معنی‌دار داشت ( $P=0.009$ ). و در ناحیه آپیکالی کانال، بیشترین تراکم ذرات در روش چرخشی با سرعت بیست و چهار هزار دور در دقیقه ایجاد شد. پس از آن روش دستی قرار داشت و در نهایت روش چرخشی با سرعت هزار و هشت هزار دور در دقیقه با میزان پراکندگی یکسان، کمترین تراکم ذرات را ایجاد کردند. تفاوت‌های موجود از لحاظ آماری معنی‌دار نبود ( $P=0.86$ ).

در مقایسه بین میزان درشتی ذرات در ناحیه کرونالی کانال ریشه، با استفاده از روش‌های فوق الذکر، در روش چرخشی با سرعت بیست و چهار هزار دور در دقیقه میزان درشتی ذرات از دیگر روش‌ها کمتر و درشت‌ترین ذرات مربوط به روش دستی بود. تفاوت بین روش‌ها از لحاظ آماری معنی‌دار بود ( $P<0.001$ ) (نمودار ۲).

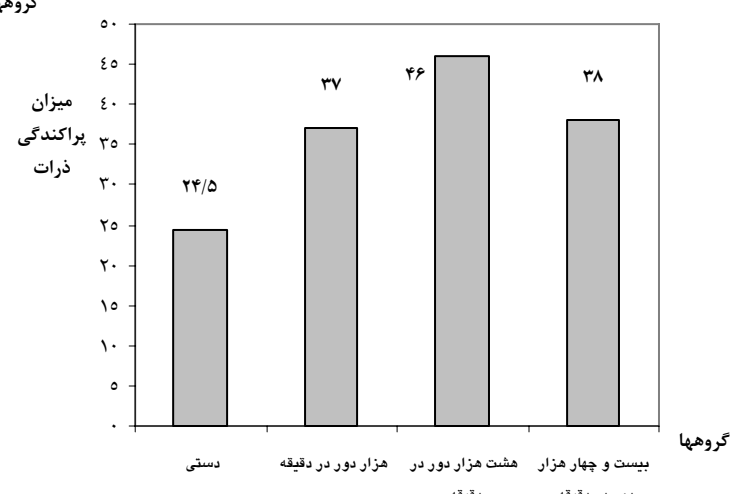
در ناحیه میانی کوچترین ذرات با استفاده از روش چرخشی با سرعت بیست و چهار هزار دور در دقیقه بوجود آمدند. پس از آن روش چرخشی با سرعت هزار و هشت هزار دور در دقیقه واقع شدند تفاوت بین روش چرخشی با سرعت بیست و چهار هزار دور در دقیقه با روش‌های دستی و چرخشی با سرعت هزار دور در دقیقه از لحاظ آماری معنی‌دار بود ( $P=0.029$ ). اختلاف بین تمام گروه‌های مطالعه نیز طبق نمودار ۳ ارزشمند بود ( $P=0.013$ ).



نمودار ۳: مقایسه میانگین رتبه‌ای میزان درشتی ذرات در ناحیه میانی کانال

در ناحیه آپیکالی کانال، روش چرخشی با سرعت هزار دور در دقیقه کمترین میزان درشتی ذرات را داشت. پس از آن سرعت بیست و چهار هزار دور در دقیقه و روش دستی قرار داشت سرعت هشت هزار دور در دقیقه بیشترین میزان درشتی ذرات را به خود اختصاص می‌داد و بین گروه‌ها اختلاف معنی‌داری وجود نداشت.

در مقایسه میانگین میزان اسمیر نفوذ کرده به داخل توبول‌های عاجی در نواحی سه‌گانه کانال، بیشترین میزان



نمودار ۱: مقایسه میانگین رتبه‌ای میزان پراکندگی ذرات در ناحیه میانی کانال

و بافت پالپ با قیمانده که به طور محکم به دیواره کانال چسبیده به داخل توبولهای عاجی نیز گسترش پیدا می‌کند، ایجاد خواهد کرد.(۷)

چگونگی برداشتن اسپر لایر در مطالعات متعددی مورد بررسی قرار گرفته است و بیشترین محققان معتقدند که برداشتن این لایه با هریک از وسایل و روشهای در کنار یک ماده شستشو دهنده مناسب مؤثر خواهد بود.(۲)، در مورد اینکه از چه روش و چه ماده‌ای استفاده شود، عقاید متفاوت است اما برسر این موضوع که یک نوع محلول شوینده، هرگز قادر به برداشتن هر دو جزء آلى و غیر آلى اسپر لایر نمی‌باشد، اکثر محققان اتفاق نظر دارند.(۲)

نتایج این مطالعه نشان داد که هیچ کدام از وسایل چرخشی و دستی، قادر به ایجاد یک کانال کاملاً تمیز نبودند که با اکثر مطالعات انجام شده در این زمینه هماهنگی دارد.(۳، ۵، ۶، ۷)

مقالات منتشر شده درباره توانایی پاکسازی وسایل خودکار، نسبتاً متناقض هستند که در نهایت به دامنه وسیع گوناگونی در طرحها و معیارهای ارزیابی این مطالعات، مربوط می‌شود.(۸-۷)

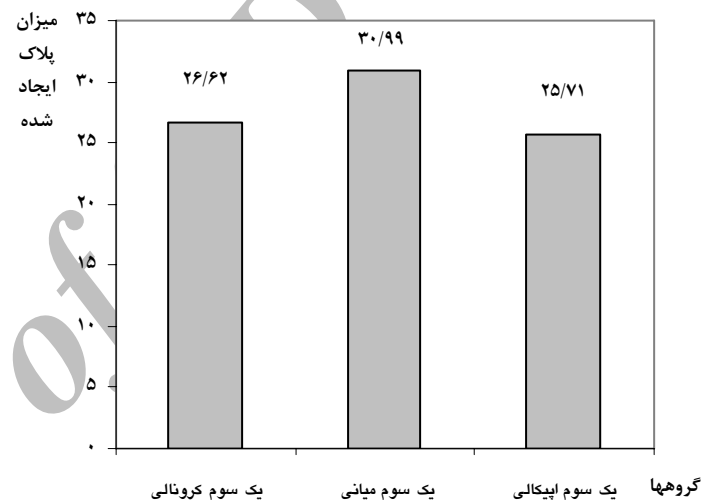
در این مطالعه، اینسترومتریشن با سیستم چرخشی پروفایل، اسپر لایر متراکمتری نسبت به روش دستی روی دیوارهای کانال ایجاد کرد که مطابق با نتایج مطالعه Sydney و همکارانش می‌باشد.(۳)، همچنین این لایه در روش چرخشی، به نظر می‌رسید چسبندگی کمتری به دیواره کانال داشته باشد که علت این امر فشار کمتر اینسترومترها به دیواره کانال می‌باشد.

### نتیجه‌گیری

بنابراین طبق مطالعه انجام شده و مطالعات قبلی پیرامون این موضوع، می‌توان چنین نتیجه گرفت که به دنبال اینسترومتریشن کانال ریشه با استفاده از فایل‌های Ni-Ti در سیستم چرخشی GT Profile در مقایسه با کاربرد K فایل‌های استیل اسپر لایری بوجود می‌آید که از بعد سطحی بسیار نازکتر و یکنواخت‌تر بوده و چسبندگی کمتری به دیواره کانال دارد.

به طور میانگین در روش دستی بود و بین گروه‌ها اختلاف آماری ارزشمند بود( $P=0.001$ ) . همچنین در گروه دستی بیشترین میزان نفوذ در ناحیه میانی و کمترین در ناحیه اپیکالی کانال بود( $P=0.059$ ) (نمودار ۴).

در مجموع بدون در نظر گرفتن سرعت چرخش در زیر گروه‌ها، در مقایسه بین دو گروه ۱ و ۲ بیشترین میانگین اسپر پلاگ ایجاد شده مربوط به گروه چرخشی بود (۱۲٪ در مقابل ۸٪).<sup>(۱۱/۸۷)</sup>



نمودار ۴: مقایسه میانگین میزان اسپر پلاگ ایجاد شده در نواحی سه‌گانه کانال با استفاده از روش دستی

### بحث

آماده‌سازی کانال ریشه، اهداف و مقاصد مشخص و واضحی دارد، حذف تمام بافت پالپ، عاج نکروزه و میکوارگانیسم‌ها، همچنین شکل دادن، وسیع کردن و صاف کردن کانال برای پذیرفتن یک ماده پرکننده در تمام ابعاد کانال ریشه، از جمله اهداف آماده‌سازی کانال می‌باشند. این امر به طور سنتی توسط بروچ‌ها، ریمرها، و فایل‌های دستی انجام می‌شده است.(۳)

توسط چندین محقق نشان داده شده است که فایلینگ و شکل‌دهی دیوارهای کانال ریشه، به تنهایی قادر به تمیز کردن کانال به طور مؤثر نمی‌باشند و در هر صورت، اینسترومتریشن کانال یک لایه اسپری متشکل از ذرات عاج

## REFERENCES

1. Beeson TJ, Hartwell GR, Thornton JD, Gunsolley JC. Comparison of debris extruded apically in straight canals: Conventional filing versus profile 0.04 taper series 29. *J Endod.* 1998 Jan;24(1):18-22.
2. Czonstkowski M, Wilson EG, Holstein FA. The smear layer in endodontics. *Dent Clin North Am.* 1990 Jan; 34(1):13-25.
3. Sydney GB, Batista A, Estrela C, Pesce HF, de Melo LL. SEM analysis of smear layer removal after manual and automated handpiece root canal preparation. *Braz Dent J.* 1996 Jan;7(1):19-26.
4. Valli KS, Lata DA, Jagdish S. An in-vitro SEM comparative study of debridement ability of K-Files and canal master. *Indian J Dent Res.* 1996 Oct;7(4):128-134.
5. Turco M, Goldman R, White D. A comparison of automated to hand instrumentation in endodontic preparation and filling. *J Dent Res.* 1988;67(1) Special Issue:218.
6. Guppy DR, Curtis RV, Ford TRP. Dentine chips produced by nickel – titanium rotary instruments: *Dent Traumatol.* 2000 Dec;16(6):258-264.
7. Gambarini G, Laszkiewicz J. A scanning electron microscopic study of debris and smear layer remaining following use of GT rotary instruments. *Int Endod J.* 2002 May;35(5):422-7.
8. Hulsmann M, Rummelin C, Schafers F. Root canal cleanliness after preparation with different endodontic handpieces and hand instruments: A comparative SEM investigation. *J Endod.* 1997 May;23(5):301-6.
9. Mader CL, Baumgartner JC, Peters DD. Scanning electron microscopic investigation of the smeared layer on root canal walls. *J Endod.* 1984 Oct;10(10):477-483.